

ЦВЕТНЫЕ ПОКРЫТИЯ НА ОСНОВЕ КОМПЛЕКСНОГО СОЕДИНЕНИЯ ФЛУОРЕСЦЕИНАТА ЦИРКОНИЯ (IV)

С.А. Кузнецова, В.В. Козик

Томский государственный университет

E-mail: onm@xf.tsu.ru

Проведено физико-химическое исследование процессов формирования пленкообразующего раствора на основе комплексного соединения флуоресцеината циркония (IV). Показана возможность использования этих соединений для получения цветных пленок. Установлены оптимальные условия синтеза покрытий от ярко-желтого до красного цветов.

В современной технике в качестве пленочных материалов широко применяют оксидные, нитридные и металлические покрытия [1, 2]. Функциональные возможности таких пленок — это изменение химических, электрических и оптических свойств поверхности материала, повышение его устойчивости и долговечности при эксплуатации в агрессивных средах. Нанесение тонких цветных пленок позволяет решать задачи по перераспределению спектрального состава и интенсивности световых потоков, создавать источники света с необходимым спектром излучения [3]. Такие покрытия могут быть получены на основе цветных оксидов, но диапазон цветности окрашенных оксидов все еще невелик.

Целью настоящей работы было получение пленок, позволяющих расширить диапазон цветности в видимой области изделий из стекла. В качестве исходных систем для решения этих задач были выбраны комплексные соединения с органическими красителями, которые широко применяют в текстильной и лакокрасочной промышленности [4]. Цветные пленки получали из пленкообразующих растворов комплексных соединений (ПОРКС) на основе $ZrOCl_2 \cdot 8H_2O$ и ксантенового красителя — флуоресцеина. Структура флуоресцеина представлена на рис. 1.

Выбор флуоресцеина основан на том, что это соединение может образовывать окрашенные комплексы, в его строении присутствуют две функциональные группы ($-OH$, $-COOH$), по которым воз-

можно комплексообразование. Наличие π -сопряженной системы трех бензольных колец предполагает хорошую адгезию ПОРКС с поверхностью подложки [5] в момент ее вытягивания, что в практическом отношении очень важно. Цирконий (IV) является хорошим комплексообразователем. Оксихлорид циркония растворяется в этиловом спирте, склонен к гидролизу с последующей конденсацией. Это приводит к управлению вязкостью (практически важной технологической характеристикой ПОРКС) и дает возможность получать качественные пленки требуемой толщины.

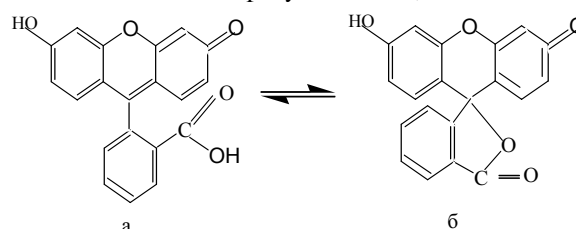


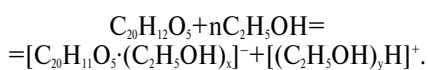
Рис. 1. Структура флуоресцеина: а) флуоресцеин жёлтый (хиноидная форма), б) диоксифлуоран бесцветный (лактонная форма)

ПОРКС готовили путем растворения в 96 мас. % этиловом спирте флуоресцеина и оксихлорида циркония марки «хч» в мольном соотношении 20:1 соответственно. Растворы выдерживали в течение получаса в термостате при 308 К до приобретения оранжевой окраски. Процессы формирования ПОРКС исследовали фотометрически [6] с помощью фотоколориметра ФЭК-2 при $\lambda=440$ нм,

а также методом ИК-спектроскопии. ИК-спектры измеряли при помощи спектрофотометра Perkin-Elmer-595 в области $200...4000\text{ см}^{-1}$, УФ-спектрофотометра СФ-20 в области длин волн $220...340\text{ нм}$. Отнесение частот поглощения ν в ИК-спектрах проводили в соответствии с литературными данными [7–9]. Пленкообразующую способность ПОРКС изучали методом вискозиметрии. Кинематическую вязкость η измеряли при 298 К с использованием вискозиметра ВПЖ-2. Ошибка измерения составляла $\pm 0,06\text{ мм}^2/\text{с}$. Термический анализ высушенного ПОРКС при 333 К проводили с помощью дериватографа Q-1500, в температурном интервале $298...973\text{ К}$.

Пленки получали из ПОРКС путем вытягивания стеклянных подложек со скоростью 2 мм/с . Термическую обработку подложек с нанесенной пленкой проводили в сушильном шкафу и муфельной печи при 333 и 598 К , соответственно. Рентгенофазовый анализ пленок выполняли с использованием дифрактометра ДРОН-3М (Cu_α -излучение, Ni-фильтр). Толщину и показатель преломления пленок определяли по стандартной методике с использованием лазерного эллипсометра ЛЭФ-3. Ошибка определения толщины и показателя преломления составляет $0,1$ и $0,015\%$ [10]. Адгезию пленок оценивали по методу иглы и риски с использованием микротвердомера ПМТ-3. Спектры пропускания записывали на спектрофотометре СФ-20 в области длин волн $250...750\text{ нм}$.

Установлено, что раствор флуоресцеина в этиловом спирте, окрашенный в желтый цвет, не обладает пленкообразующей способностью. Введение в этот раствор $\text{ZrOCl}_2 \cdot 8\text{H}_2\text{O}$ позволяет получать равномерные по толщине пленки. Раствор приобретает пленкообразующую способность, когда вязкость (рис. 2, кривые 2, 3) достигает значений $2,58...3,20\text{ мм}^2/\text{с}$. Полученный ПОРКС не требует времени для созревания и может быть использован со дня его приготовления. С целью установления процессов, протекающих в ПОРКС, исследовалось изменение вязкости спиртовых растворов (рис. 2) оксихлорида циркония (кривая 1), флуоресцеина (кривая 2) и ПОРКС (кривая 3). Уменьшение вязкости в этанольном растворе флуоресцеина в первые трое суток может быть обусловлено процессами структурного изменения растворителя за счет введения растворенного вещества [11]. Как видно из рис. 2 (кривая 2), на пятые сутки система приходит в состояние равновесия, и вязкость стабилизируется. Рост вязкости к пятым суткам, возможно, связан с ориентационным взаимодействием спирта с флуоресцеином и электростатическим притяжением между образовавшимися сольватированными ионами:



В спиртовом растворе $\text{ZrOCl}_2 \cdot 8\text{H}_2\text{O}$ (рис. 2, кривая 1) все процессы замедляются по истечении двух суток. Согласно данным работы [12] в растворе образуются устойчивые мицеллы полимерного гидроксида циркония следующих составов

$[\text{Zr}_4(\text{OH})_n(\text{C}_2\text{H}_5\text{OH})_x(\text{H}_2\text{O})_{m-x}]\text{Cl}_k$, где $n=8, 12$; $m=16, 12$; $k=8, 4$ и $[\text{Zr}_4(\text{OH})_{16}(\text{C}_2\text{H}_5\text{OH})_x(\text{H}_2\text{O})_{8-x}]$.

Отличие зависимости вязкости ПОРКС от времени (рис. 2, кривая 3) от зависимости вязкости этанольных растворов оксихлорида циркония (кривая 1) и флуоресцеина (кривая 2) во времени свидетельствует о протекании химического взаимодействия между катионом циркония (IV) и анионом флуоресцеина, что подтверждается и данными ИК-спектроскопии.

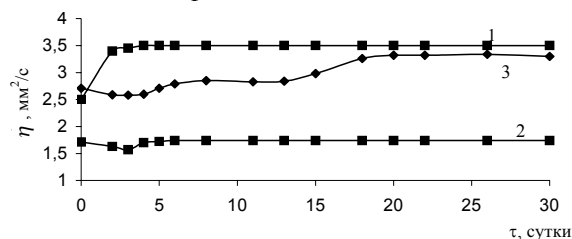


Рис. 2. Изменение вязкости растворов во времени: 1) $\text{ZrOCl}_2 \cdot 8\text{H}_2\text{O} - \text{C}_2\text{H}_5\text{OH}$; 2) $\text{C}_{20}\text{H}_{12}\text{O}_5 - \text{C}_2\text{H}_5\text{OH}$; 3) ПОРКС- $\text{ZrOCl}_2 \cdot 8\text{H}_2\text{O} - \text{C}_{20}\text{H}_{12}\text{O}_5 - \text{C}_2\text{H}_5\text{OH}$

Анализ ИК-спектров ПОРКС (табл. 1) указывает на наличие частот, характерных для связей в сложном органическом соединении – флуоресцеине, и на существование комплексного соединения, образующегося за счет связи циркония с кислородом флуоресцеина ($\text{Zr}-\text{O} \nu=550...580\text{ см}^{-1}$). Преобладание в растворе комплекса состава 1:1 подтвердили и фотометрические исследования с использованием метода Остромысленского-Жоба. Экстремум кривой ΔD – состав (где ΔD – отклонение оптической плотности от D при отсутствии комплексобразования) находится при соотношении металл : лиганд = 1:1. Таким образом, несмотря на то, что ПОРКС содержит избыток оксихлорида циркония, а флуоресцеин может вести себя как бидентатный лиганд, комплексобразование идет по одной карбоксильной группе $-\text{COO}^-$, как более реакционноспособной. Строение комплексной частицы в ПОРКС представлено на рис. 3.

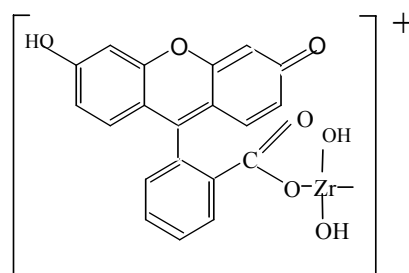


Рис. 3. Строение комплексной частицы дигидроксифлуоресцеината циркония (IV)

Характер изменения вязкости ПОРКС свидетельствует о наличии трех этапов формирования раствора (рис. 2, кривая 3). Первый этап, сопровождающийся незначительным уменьшением вязкости, может быть связан с конкурирующими процессами структурного изменения растворителя, диссо-

циации и сольватации флуоресцеина, гидролиза оксихлорида циркония, а также комплексобразования. Увеличение вязкости на втором этапе объясняется поликонденсацией. Данное предположение подтверждается анализом ИК-спектров ПОРКС (табл. 1), в которых представлены колебания основных групп согласно этапам изменения вязкости.

Таблица 1. Полосы поглощения в ИК-спектрах спиртового раствора оксихлорида циркония с флуоресцеином

Отнесение частот	Частота полос, см ⁻¹		
	6 сут.	12 сут.	20 сут.
H ₂ O, либо [Zr-O(H) ₂], [Zr-OH]	440	440	440
Zr-O (связь с флуоресцеином)	550...580	590...690	660
C-H бензольного кольца	700,810	710, 810	720, 810
Zr-OH	890	890	890
C-O, либо Zr-OH	1050	1050	1050
C-OH, либо Zr-OH	1100	1100	1100
C-O ароматического кольца	1300	1300	1300
Фенолы C-OH,			
C-H бензольного кольца	1420	1420	1420
C=O	1660	1665	1620
-COO-	1930	1900	1890
-OH	2240...2400		
2490...2550	2050...2350		
2500...2650	2010...2350		
2490...2690			
бензольное кольцо	2850...2950	2850...2950	2950
H ₂ O	3100...3550	3250...3400	3250...3400
C ₆ H ₅ OH	3609	3400	3400

В сравнении с литературными данными [8] ν колебания COO^- , C=O групп красителя на шестые сутки смещены в низкочастотную область, что связано с влиянием растворителя. Смещение валентных колебаний связей C=O ($\Delta\nu_{\text{к 12 сут.}}=5 \text{ см}^{-1}$, $\Delta\nu_{\text{к 20 сут.}}=45 \text{ см}^{-1}$), COO^- ($\Delta\nu_{\text{к 12 сут.}}=30 \text{ см}^{-1}$, $\Delta\nu_{\text{к 20 сут.}}=10 \text{ см}^{-1}$) на различных этапах формирования ПОРКС, согласно изменению вязкости, указывает на образование полимеров между комплексными частицами флуоресцеината циркония (IV). Таким образом, формирование ПОРКС сводится к процессам гидролиза оксихлорида циркония, сольватации флуоресцеина, комплексобразования и, в конечном счете, поликонденсации комплексных частиц.

Из ПОРКС, взятого после 20 сут. выдержки со дня его приготовления, при нагревании до 393 К в течение 30 мин формируются пленки ярко-желтого цвета. При температуре отжига 573 К в течение 10 мин образуются пленки оранжевого цвета. Увеличение времени отжига до 20 мин при этой же температуре позволяет получать пленки ярко-красного цвета. При нагревании до 773 К пленка теряет окраску в течение 10 мин. Это связано с разрушением комплекса органического красителя, что доказывается данными рентгенофазового анализа. При этой температуре образуется ZrO_2 моноклинной модификации.

При увеличении времени отжига пленок и повышении температуры их формирования, изменение цвета покрытий от ярко-желтого до красного цветов связано с термическим разрушением высушенного ПОРКС. Как видно из рис. 3, на всех кривых термограммы отчетливо фиксируются три стадии разложения.

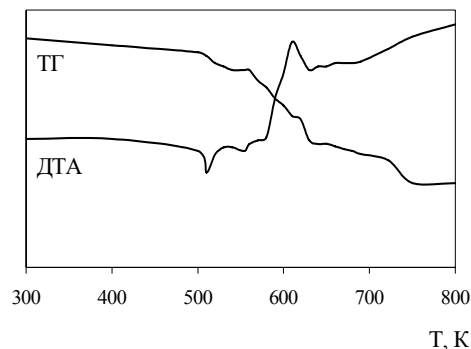


Рис. 3. Термограмма разложения высушенного ПОРКС

Первая стадия сопровождается ярко выраженными эндотермическими эффектами в интервале температур 503...573 К и, видимо, связана с десорбцией молекул растворителя ($\text{C}_2\text{H}_5\text{OH}$), H_2O , а также HCl , который образовался по обменной реакции комплексобразования оксихлорида циркония с флуоресцеином. Вторая стадия в области 623...670 К сопровождающаяся экзотермическим эффектом, по видимому, соответствует разложению комплекса путем удаления флуоресцеина с последующим его окислением. На третьей стадии до 780 К происходит дальнейшее разрушение комплекса с образованием диоксида циркония. Таким образом, данные термического анализа указывают на то, что изменение цвета пленок в температурном диапазоне 393...573 К связано с удалением адсорбированных молекул растворителя и продуктов реакций комплексобразования и поликонденсации.

Физические свойства пленок представлены в табл. 2, спектры пропускания – на рис. 4.

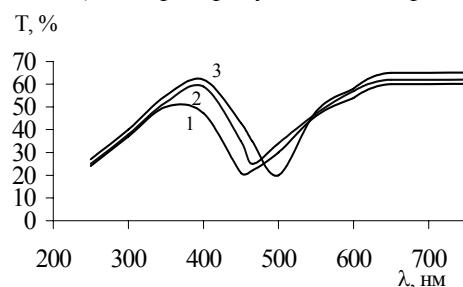


Рис. 4. Спектры пропускания пленок: 1) желтая, 2) оранжевая, 3) красная

Анализ спектров пропускания пленок показал, что их максимальное поглощение находится в видимой области 450...500 нм. Полученные цветные покрытия аморфны, обладают диэлектрическими свойствами, высокой адгезией, механической прочностью и химической стойкостью. Случаев растрескивания и отслаивания пленок от подложки во времени не наблюдалось.

Таблица 2. Физические свойства плёнок

Условия получения плёнок	Цвет	Толщина, нм	Показатель преломления	Сила адгезии, кг/мм ²
$T=393\text{ К}$, $\tau=30\text{ мин}$	желтый	75,86	1,92	6,1
$T=573\text{ К}$, $\tau=10\text{ мин}$	оранжевый	94,62	1,98	6,6
$T=573\text{ К}$, $\tau=20\text{ мин}$	красный	69,42	1,92	6,8

Выводы

1. Методом вытягивания из пленкообразующего этанольного раствора на основе $\text{ZrOCl}_2 \cdot 8\text{H}_2\text{O}$ и флуоресцеина получены на стекле цветные по-

крытия флуоресцеината циркония (IV). Они являются химически стойкими диэлектриками с высоким показателем преломления.

2. Оптимизированы технологические параметры (температура, время отжига) синтеза желтых (393 К, 10 мин), оранжевых (573 К, 10 мин) и красных (573 К, 20 мин) плёнок.
3. Методами ИК-, УФ-спектроскопии, фотометрии и вискозиметрии установлены закономерности формирования пленкообразующего раствора во времени, включающие: гидролиз оксихлорида циркония, комплексообразование между ионом циркония и флуоресцеином в спиртовой среде и поликонденсацию.

СПИСОК ЛИТЕРАТУРЫ

1. Верещагин В.И., Козик В.В., Сырямкин В.И. и др. Полифункциональные неорганические материалы на основе природных и искусственных соединений. — Томск: Изд-во Том. ун-та, 2002. — 359 с.
2. Niyomsoan S., Grant W., Olson D., Mishza B. Variation of color in titanium and zirconium nitride decorative thin films // Thin Solid Films. — 2002. — V. 415. — P. 187–194.
3. Bertaux S., Reynders P., Heintz J. Sintering and color properties of nanocrystalline CeO_2 films // Thin Solid Films. — 2005. — V. 473. — P. 80–88.
4. Мельников Б.Н., Виноградова Г.И. Применение красителей. — М.: Химия, 1986. — 238 с.
5. Занберг Э.Я., Нездуров А.Л., Палеев В.И., Пономарев Д.А. Поверхностная ионизация ароматических углеводородов // Теоретическая и экспериментальная химия. — 1988. — Т. 55. — Вып. 6. — С. 733–738.
6. Костромина Н.А., Кумок В.Н., Скорик Н.А. Химия координационных соединений. — М.: Высшая школа, 1990. — 432 с.
7. Накамото К. ИК-спектры и спектры КР неорганических и координационных соединений. — М.: Мир, 1991. — 456 с.
8. Казицина Л.А., Куплетская Н.Б. Применение УФ-, ИК- и ЯМР-спектроскопии в органической химии. — М.: Высшая школа, 1971. — 241 с.
9. Бурков К.А., Кожевникова Г.В., Лилич Л.С. и др. Колебательные спектры тетрамерного гидроксокомплекса циркония (IV) // Журнал неорганической химии. — 1982. — Т. 27. — Вып. 6. — С. 1427–1431.
10. Аканов А.В. Алгоритмы и программы для численного решения некоторых задач эллипсометрии. — М.: Наука, 1980. — 192 с.
11. Эрдей-Груз Т. Явления переноса в водных растворах. — М.: Мир, 1976. — 595 с.
12. Елисон С.В., Петров К.И. Аналитическая химия Zr и Hf. — М.: Наука, 1965. — 240 с.